

УДК 535.37 : 546.15

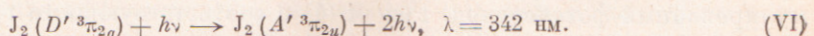
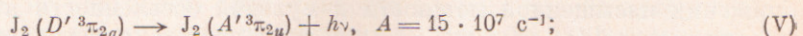
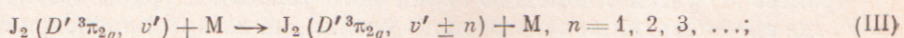
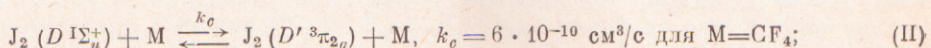
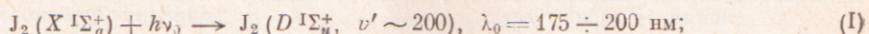
**КВАНТОВЫЙ ВЫХОД ЛЮМИНЕСЦЕНЦИИ  
МОЛЕКУЛЯРНОГО ИОДА, ВОЗБУЖДАЕМОГО ВУФ  
ИЗЛУЧЕНИЕМ**

Даюк В. В., Измайлова И. А., Кочелап В. А.

Теоретически исследована электронно-колебательная кинетика в активной среде подного лазера. Приведены выражения для квантового выхода  $\eta$  стимулированного и спонтанного излучений. Из сравнения теоретического расчета с экспериментальными данными определены константы тушения и VT-релаксации  $J_2(D')$ . Исследована зависимость  $\eta$  от давления различных буферных газов. Даны рекомендации по оптимизации параметров  $J_2(D' - A')$ -лазера.

$J_2(D')$ -лазер с накачкой вакуумным ультрафиолетом является одним из наиболее перспективных лазеров ближнего УФ диапазона [1]. Несмотря на многочисленные исследования кинетики образования  $J_2(D')$  [1-6], роль некоторых процессов (колебательная релаксация, электронная конверсия) выяснена неудовлетворительно. В настоящей работе теоретически исследована электронно-колебательная кинетика в активной среде иодного лазера. Приведены выражения для квантового выхода  $\eta$  стимулированного и спонтанного излучений. Из сравнения теоретического расчета с экспериментальными данными определены константы тушения и VT-релаксации  $J_2(D')$ . Исследована зависимость  $\eta$  от давления различных буферных газов.

Электронно-колебательная кинетика в смеси  $J_2/M$  включает в себя следующие процессы: возбуждение высоколежащих колебательных уровней  $J_2(D^1\Sigma_u^+)$  (I), электронную конверсию между состояниями  $J_2(D)$  и  $J_2(D'^3\pi_{2g})$  (II), колебательную релаксацию (III), тушение (IV), спонтанное (V) и стимулированное (VI) излучения



По данным [6], самым быстрым процессом является (II), в котором энергия от  $J_2(D^1\Sigma_u^+)$  передается к  $J_2(D'^3\pi_{2g})$  через группу промежуточных «темновых» состояний, заселенностью которых можно пренебречь при давлении  $\text{CF}_4$  выше 30 Тор [6] и давлении Ar выше 100 Тор [7]. Можно показать, что в этом случае колебательное распределение в  $D$ - и  $D'$ -состояниях описывается одним кинетическим уравнением. Возбужденные состояния  $J_2$  характеризуются небольшими колебательными квантами  $\hbar\omega$  и значительным ангармонизмом. Для

таких систем хорошо выполняется диффузионное приближение [8] и кинетическое уравнение имеет вид

$$\frac{d}{d\varepsilon} j(\varepsilon) + \frac{1}{\tau_q} f(\varepsilon) = 0, \quad (1)$$

где  $f(\varepsilon)$  — функция распределения по колебательной энергии  $\varepsilon$ ,  $j(\varepsilon) \equiv -\frac{T}{\tau_{VT}} \times \times b(\varepsilon) \rho(\varepsilon) \left[ \frac{d}{d\varepsilon} \left( \frac{f}{\rho} \right) + \frac{f}{T\rho} \right]$ ,  $T$  — температура,  $\rho(\varepsilon)$  — плотность состояний,  $\tau_q$  — время тушения люминесценции, значение  $\tau_{VT}$  введено так, что оно равно времени колебательной релаксации гармонических осцилляторов в области низких колебательных уровней ( $b(\varepsilon) = \varepsilon$ ),  $\tau_{VT}^{-1} \equiv k_{VT} [M]$ ,  $\tau_q^{-1} \equiv A + k_q [M]$ ,  $[M]$  — концентрация молекул буферного газа М. Аппроксируем  $b(\varepsilon)$ ,  $\rho(\varepsilon)$  выражениями из [8]:  $b(\varepsilon) = 2D \sqrt{1 - \frac{\varepsilon}{D}} \left( 1 - \sqrt{1 - \frac{\varepsilon}{D}} \right)$ ,  $\rho(\varepsilon) = (\hbar\omega \sqrt{1 - \frac{\varepsilon}{D}})^{-1}$ ,  $D$  — энергия диссоциации.

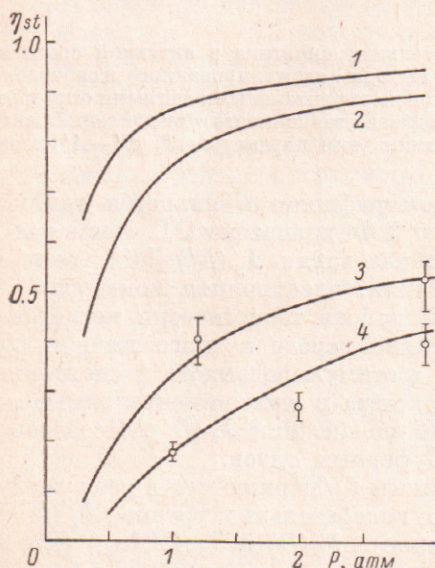


Рис. 1. Зависимость квантового выхода стимулированного излучения  $I_2(D' - A')$  от давления буферного газа.

1 —  $C_2F_6$ , 2 —  $CF_4$ , 3 —  $SF_6$ , 4 — Ar.

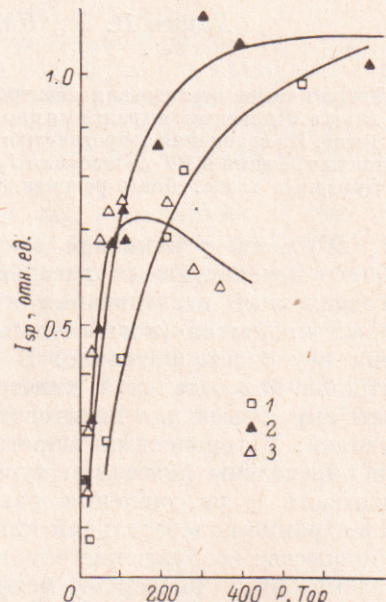


Рис. 2. Зависимость интенсивности спонтанной люминесценции  $I_2(D' \rightarrow A')$  от давления буферного газа.

1 —  $CF_4$ , 2 —  $C_3F_8$ , 3 —  $C_5F_{12}$ .

Процесс (1) учтем с помощью граничного условия к уравнению (1):  $j(\varepsilon_*) = W$ , где  $\varepsilon_*$  — энергия колебательного уровня, на который происходит накачка,  $W$  — темп накачки (в  $\text{см}^{-3}/\text{с}$ ). Если стимулированное излучение отсутствует, второе граничное условие имеет вид:  $j(0) = 0$ . Однако при наличии (VI) в приближении насыщенной мощности и нулевой заселенности нижнего лазерного уровня имеем  $f(\varepsilon_0) = 0$ , где  $\varepsilon_0$  — энергия уровня, с которого происходит стимулированный фотопереход. Решая (1) с соответствующими граничными условиями, мы определили  $f(\varepsilon)$  и нашли  $\eta$  — отношение темпа спонтанного или стимулированного излучения к темпу накачки

$$\eta_{sp} = -\frac{Af(\varepsilon_0)}{\rho(\varepsilon_0) j(\varepsilon_*)} = A\tau_q \frac{\hbar\omega}{T} e^{-\frac{\varepsilon_0}{T}} \Theta \Gamma(1+z) F(z, 1; \frac{\varepsilon_0}{T}), \quad (2)$$

$$\Theta \equiv \exp \left\{ -\tau_{VT} \int_{\frac{T}{2}}^{\varepsilon_*} \frac{d\varepsilon}{\tau_q b(\varepsilon)} \right\} = \left[ \frac{T}{2D \left( 1 - \sqrt{1 - \frac{\varepsilon_*}{D}} \right)} \right]^z,$$

$$\eta_{st} = \frac{j(\varepsilon_0)}{j(\varepsilon_s)} = \eta_{sp}(A\tau_Q)^{-1} \left[ (1-z) \frac{F(z-1, 1, \frac{\varepsilon_0}{T})}{F(z, 1, \frac{\varepsilon_0}{T})} + \frac{\Phi(z-1, 1, \frac{\varepsilon_0}{T})}{\Phi(z, 1, \frac{\varepsilon_0}{T})} \right]. \quad (3)$$

Здесь  $z \equiv \tau_{VT}/\tau_Q$ ;  $F(a, 1; x)$ ,  $\Phi(a, 1; x)$  — вырожденная гипергеометрическая функция 1-го и 2-го рода соответственно. Формулы (2), (3) применимы в случае слабого тушения  $z \ll 1$ . Их можно использовать и при  $\tau_Q$ , зависящем от  $\varepsilon$ . Тогда параметр  $z$  определяется временем тушения нижних колебательных уровней.

Зависимость интенсивности стимулированной люминесценции  $J_2(D' \rightarrow A')$  от давления Ar, SF<sub>6</sub> исследована в [4]. Согласно [5],  $k_{VT}(\text{Ar}) = 2 \cdot 10^{-11} \text{ см}^3/\text{с}$ ;  $k_Q(\text{SF}_6) = 3 \cdot 10^{-12} \text{ см}^3/\text{с}$  [4]. Значения  $\eta_{st}$  из [4] и значения, вычисленные по (3), приведены на рис. 1. Необходимые для расчетов константы скорости  $k_Q(\text{Ar}) = 1.5 \cdot 10^{-12} \text{ см}^3/\text{с}$  и  $k_{VT}(\text{SF}_6) = 4 \cdot 10^{-11} \text{ см}^3/\text{с}$  определены из согласования экспериментальных и теоретических значений  $\eta_{st}$ . Интенсивность спонтанной люминесценции  $J_2(D' \rightarrow A') - J_{sp}$  измерена в [2, 3]. В [1] приведена зависимость  $J_{sp}$  от давления Ar, Kr, Xe. С помощью  $k_{VT}(\text{Ar}) = 2 \cdot 10^{-11} \text{ см}^3/\text{с}$ ,  $k_Q(\text{Ar}) = 1.5 \cdot 10^{-12} \text{ см}^3/\text{с}$  найдем, что при  $P = 800 \text{ Тор}$  для переходов с  $v' = 0 \rightarrow 4$   $\eta_{sp} = 0.21$  ( $z = 0.4$ ). Экспериментальное значение  $\eta_{sp} = 0.23$ . При низких  $P$  не выполняется условие  $z < 1$  и (2), (3) оказываются неприменимыми. Таким образом, расчет по формулам (2), (3) при  $z \ll 1$  хорошо согласуется с экспериментальными данными по стимулированной и спонтанной люминесценции  $J_2(D' \rightarrow A')$ . Отметим также, что при  $z < 1$  ( $P > 400 \text{ Тор}$ ) вид функции распределения по колебательной энергии  $f(\varepsilon)$ , а следовательно, и форма полосы  $D' \rightarrow A'$  перестают меняться при повышении давления.

Необходимость создания эффективных лазеров на  $J_2(D')$  определяет интерес к исследованию смесей  $J_2/M$  с  $k_{VT} \gg k_Q$ . Последнее неравенство, по-видимому, выполняется для галогенозамещенных углеводородов. Зависимость  $J_{sp}$  от давления CF<sub>4</sub>, C<sub>3</sub>F<sub>8</sub>, C<sub>5</sub>F<sub>12</sub> измерена в [3]. Согласно [3], при низком давлении ( $[M] \ll A k_Q^{-1}$ )  $\eta_{sp} = 1 + A/k [M]$ , где  $k$  — определяемая из эксперимента величина. Сравнивая эту зависимость  $\eta_{sp}(P)$  с (2), мы определили  $k_{VT}$  (см. таблицу). Затем из согласования результатов вычислений с экспериментом в области высоких давлений ( $P \approx 700 \text{ Тор}$ ) были найдены  $k_Q$ . Как видно из рис. 2, значения  $J_{sp}$ , вычисленные по (2) для люминесценции  $D'$ ,  $v' = 0 \rightarrow 4 \rightarrow A'$ , хорошо согласуются с экспериментальными данными. Найденные  $k_{VT}$  и  $k_Q$  позволили рассчитать  $\eta_{st}(P)$  для CF<sub>4</sub>, C<sub>3</sub>F<sub>8</sub>, C<sub>5</sub>F<sub>12</sub>. Как видно из рис. 1, при увеличении  $P$  до 1 атм  $\eta_{st}(v' = 0)$  быстро возрастает. Однако при  $P > 1.5$  атм дальнейшее повышение давления не приводит к заметному увеличению  $\eta_{st}$ . Тем самым оптимальным для  $J_2(D')$  лазера давлением газа-разбавителя является 1.5 атм.

Таким образом, на квантовую эффективность ионного лазера существенное влияние оказывают колебательная релаксация и тушение возбужденного состояния. Предельная эффективность, равная 0.8—0.9, может быть достигнута при использовании в качестве буферного газа CF<sub>4</sub>, C<sub>3</sub>F<sub>8</sub> и давлении около 1.5 атм.

В заключение благодарим В. С. Зуева и Л. Д. Михеева за полезные обсуждения.

#### Литература

- [1] Бибинов Н. К., Виноградов И. П., Зуев В. С., Канаев А. В., Михеев Л. Д., Ставровский Д. Б., Широких А. П. — Успехи фотоники, 1983, т. 8, с. 51.
- [2] Бибинов Н. К., Виноградов И. П. — Опт. и спектр., 1983, т. 54, в. 2, с. 232.
- [3] Бабошин В. Н., Михеев Л. Д., Павлов А. Б., Фоканов В. П., Ходарковский М. А., Широких А. П. — Квант. электрон., 1981, т. 8, с. 1138.

- [4] Shaw M. J., Edwards C. B., O'Neill J., Fotakis C., Donovan J. — Appl. Phys. Lett., 1980, v. 37, p. 346.
- [5] Sauer M. C. Jr., Mulac W. A., Cooper R., Grieser F. — J. Chem. Phys., 1976, v. 64, p. 4587.
- [6] Donovan R. J., O'Grady B. U., Lain L. Fotakis C. — J. Chem. Phys., 1983, v. 78, p. 3727.
- [7] Tellinghuisen J., Whyte A. R., Phillips L. F. — J. Phys. Chem., 1984, v. 88, p. 6084.
- [8] Сафарян М. Н. — ПМТФ, 1974, № 2, с. 38.

Поступило в Редакцию 12 марта 1986 г.

---